

Motor de corriente continua (CC) con excitación independiente

La Figura 1 presenta el esquema descriptivo de un sistema electromecánico, en este caso formado por un motor CC con excitación independiente de campo y una carga acoplada al eje del mismo.

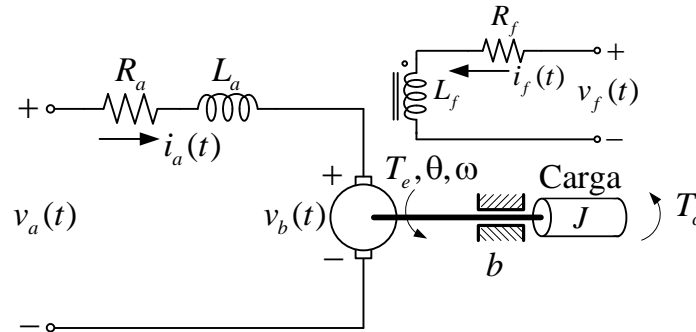


Figura 1. Motor CC con excitación independiente – Esquema eléctrico equivalente.

A continuación analizamos las ecuaciones matemáticas que modelan las dinámicas de este motor CC con excitación independiente:

El par electromagnético generado está dado por la siguiente relación:

$$T_e(t) = K i_f(t) i_a(t) \tag{1}$$

Considerando la corriente de campo constante, es decir:

$$i_f(t) = I_f = ctte \tag{2}$$

La ecuación (1), resulta:

$$T_e(t) = K_t i_a(t) \tag{3}$$

Haciendo la siguiente igualdad:

$$K I_f = K_t \tag{4}$$

En base a la segunda ley de Newton, se tiene la siguiente ecuación de equilibrio de par:

$$T_e(t) - T_c(t) - b\omega(t) = J \frac{d\omega(t)}{dt} \tag{5}$$

Aplicando la Ley de Kirchoff de tensiones al circuito de la armadura, se tiene la siguiente ecuación:

$$v_a(t) = i_a(t) R_a + L_a \frac{di_a(t)}{dt} + v_b(t) \tag{6}$$

La tensión contraelectromotriz o tensión de velocidad, está dada por:

$$v_b(t) = K_b \omega(t) \quad (7)$$

Sustituyendo (7) en la (6) y reemplazando $v_a(t)$ por $u(t)$, se tiene:

$$u(t) = R_a i_a(t) + L_a \frac{di_a(t)}{dt} + K_b \omega(t) \quad (8)$$

Reemplazando (3) en (5) y despejando $K_t i_a(t)$:

$$K_t i_a(t) = J \frac{d\omega(t)}{dt} + b\omega(t) + T_c(t) \quad (9)$$

Transformando al dominio de Laplace las ecuaciones (8) y (9):

$$U(s) = R_a I_a(s) + L_a s I_a(s) + K_b \Omega(s) \quad (10)$$

$$K_t I_a(s) = Js\Omega(s) + b\Omega(s) + T_c(s) \quad (11)$$

Aislando $I_a(s)$ de la (9):

$$I_a(s) = \frac{U(s) - K_b \Omega(s)}{R_a + sL_a} \quad (12)$$

Reemplazamos la ecuación (12) en la (11);

$$\frac{K_t U(s) - K_t K_b \Omega(s)}{R_a + sL_a} = (Js + b)\Omega(s) + T_c(s), \quad (13)$$

operando algebraicamente:

$$K_t U(s) - K_t K_b \Omega(s) = (R_a + sL_a)(sJ + b)\Omega(s) + (R_a + sL_a)T_c(s) \quad (14)$$

$$K_t U(s) = (R_a + sL_a)(sJ + b)\Omega(s) + K_t K_b \Omega(s) + (R_a + sL_a)T_c(s) \quad (15)$$

$$K_t U(s) = [s^2 J L_a + s(JR_a + bL_a) + bR_a + K_t K_b] \Omega(s) + (R_a + sL_a)T_c(s) \quad (16)$$

Despejamos $\Omega(s)$, la cual resulta en función de 2 términos:

$$\Omega(s) = \frac{K_t}{s^2 J L_a + s(JR_a + bL_a) + bR_a + K_t K_b} U(s) - \frac{R_a + sL_a}{s^2 J L_a + s(JR_a + bL_a) + bR_a + K_t K_b} T_c(s) \quad (17)$$

En la ecuación (17) se observan dos funciones de transferencias:

$$G_{iv}(s) = \frac{\Omega(s)}{U(s)} = \frac{K_t}{s^2 J L_a + s(JR_a + bL_a) + (bR_a + K_t K_b)} \quad (18)$$

y

$$G_{2v}(s) = \frac{\Omega(s)}{T_c(s)} = \frac{-(R_a + sL_a)}{s^2 J L_a + s(JR_a + bL_a) + (bR_a + K_t K_b)} \quad (19)$$

Entonces:

$$\Omega(s) = G_{1v}(s)U(s) + G_{2v}(s)T_c(s) \quad (20)$$

La ecuación (11) la podemos reescribir de la siguiente forma:

$$K_t I_a(s) - T_c(s) = (sJ + b)\Omega(s) \quad (21)$$

Despejando $\Omega(s)$:

$$\Omega(s) = \frac{K_t I_a(s) - T_c(s)}{(sJ + b)} = \frac{T_e(s) - T_c(s)}{(sJ + b)} \quad (22)$$

Observando las ecuaciones (12) y (22) podemos dibujar el siguiente diagrama de bloques:

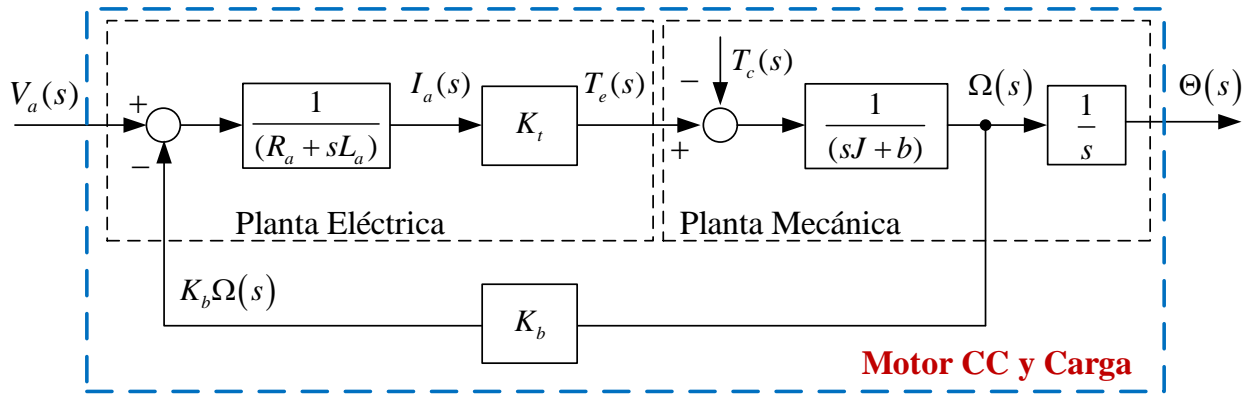


Figura 2: Motor CC con excitación independiente – Diagrama de bloques equivalente.

Analizando la función de transferencia $G_{1v}(s)$ podemos hacer el siguiente análisis:

Sabiendo que: $\theta(t) = \int_0^t \omega(t) dt + \theta(0)$ y transformando esta ecuación al dominio de Laplace, considerando la posición inicial $\theta(0) = 0$, se tiene:

$$\Theta(s) = \frac{1}{s}\Omega(s) \Rightarrow \Omega(s) = s\Theta(s) \quad (23)$$

Reemplazando la anterior en la ecuación (18), se tiene:

$$G_{1p}(s) = \frac{\Theta(s)}{U(s)} = \frac{K_t}{s^3 J L_a + s^2 (J R_a + b L_a) + s (b R_a + K_t K_b)} \quad (24)$$

Si la $\tau_e \ll \tau_m \Rightarrow L_a \approx 0$, la (24) resulta:

$$G_{1p}(s) = \frac{K_t}{s^2 J R_a + s (b R_a + K_t K_b)} \quad (25)$$

Factorizando el denominador:

$$G_{1_p}(s) = \frac{K_t}{s(bR_a + K_t K_b) \left[s \frac{JR_a}{(bR_a + K_t K_b)} + 1 \right]} \quad (26)$$

Determinamos la constante de tiempo del motor como siendo:

$$\tau_m = \frac{JR_a}{bR_a + K_t K_b} \quad (27)$$

Y la constante del motor o ganancia estática, siendo:

$$K_m = \frac{K_t}{bR_a + K_t K_b} \quad (28)$$

Teniendo en cuenta las ecuaciones (27) y (28), las ecuación (26) resulta:

$$G_{1_p}(s) = \frac{K_m}{s(s\tau_m + 1)} = \frac{\Theta(s)}{U(s)} \quad (29)$$

A partir de la (23), también podemos escribir la siguiente igualdad:

$$G_{1_v}(s) = \frac{K_m}{s\tau_m + 1} = \frac{\Omega(s)}{U(s)} \quad (30)$$

Los diagramas de bloques, relacionados con las funciones de transferencias (29) y (30) son los siguientes:

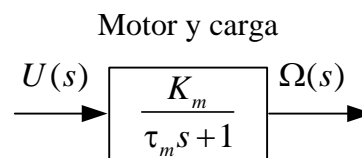
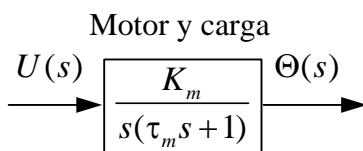


Figura 3: Modelo entrada-salida de posición.

Figura 4: Modelo entrada-salida de velocidad.

Si es posible despreciar “b” que generalmente tiene un valor mucho menor que la inercia, la (26), (27) y (28), resultan:

$$G_{1_p}(s) = \frac{K_t}{s^2 JR_a + s K_t K_b} \quad (31)$$

Dónde:

$$\tau_m = \frac{JR_a}{K_t K_b} \quad \text{y} \quad K_m = \frac{1}{K_b} \quad (32)$$

Motor de corriente continua (CC) con excitación independiente - Tren de engranajes

Puede ser usado, en el caso de accionamiento de una carga, para convertir velocidades altas y pares reducidos en bajas velocidades y pares elevados. El más popular es el engranaje de rueda dentada recta (dientes rectos).

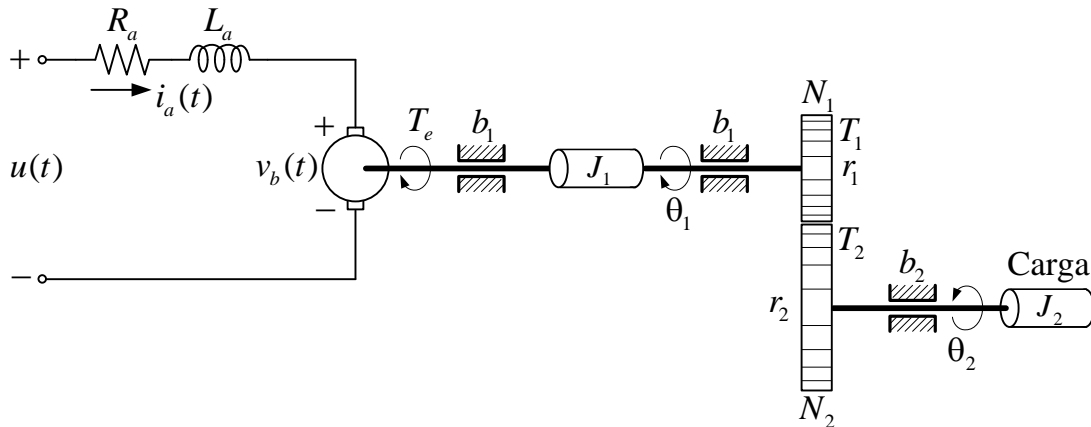


Figura 5: Motor CC con excitación independiente – Tren de engranajes - Esquema eléctrico equivalente.

Dónde:

r_i = Radio de los engranajes.

N_i = Numero de dientes.

θ_i = Desplazamientos angulares.

T_i = Respetivos pares.

El número de dientes en un engranaje es linealmente proporcional a su radio, o sea:

$$\frac{N_1}{r_1} = \frac{N_2}{r_2} \text{ o } \frac{r_2}{r_1} = \frac{N_2}{N_1} \tag{33}$$

La distancia recorrida por un punto en la superficie de ambos engranajes es la misma, por lo tanto:

$$\theta_1 r_1 = \theta_2 r_2 \Rightarrow \frac{r_2}{r_1} = \frac{\theta_1}{\theta_2} \tag{34}$$

Las fuerzas lineales desarrolladas en el punto de contacto de ambos engranajes, son iguales en módulo, por lo tanto se tiene que:

$$\frac{T_1}{r_1} = \frac{T_2}{r_2}; \text{ Donde: } \begin{cases} T_1 = F_1 r_1 \\ T_2 = F_2 r_2 \end{cases} \text{ y } \begin{cases} |F_1| = |F_2| \\ \text{Pero de sentido contrario.} \end{cases} \tag{35}$$

De (33), (34) y (35) resulta la siguiente ecuación lineal:

$$\frac{T_1}{T_2} = \frac{r_1}{r_2} = \frac{N_1}{N_2} = \frac{\theta_2}{\theta_1} \tag{36}$$

De la Figura 5 se tiene:

J_1 : Momento de inercia del rotor, eje y engranaje 1.

b_1 : Coeficiente de fricción viscosa en el eje.

J_2 : Momento de inercia de la carga, eje de la carga y engranaje 2.

b_2 : Coeficiente de fricción viscosa en el eje de la carga.

Expresando la ecuación (9) en función del desplazamiento angular $\theta_1(t)$, y el torque T_2 en función

$\theta_2(t)$:

$$T_e(t) = J_1 \frac{d^2\theta_1(t)}{dt^2} + b_1 \frac{d\theta_1(t)}{dt} + T_1 \quad (37)$$

$$T_2 = J_2 \frac{d^2\theta_2(t)}{dt^2} + b_2 \frac{d\theta_2(t)}{dt} \quad (38)$$

De (36):

$$\frac{\theta_2(t)}{\theta_1(t)} = \frac{N_1}{N_2}; \text{ o } \theta_2(t) = \left(\frac{N_1}{N_2} \right) \theta_1(t) \quad (39)$$

Considerando la siguiente igualdad:

$$\frac{N_1}{N_2} = K_N \quad (40)$$

La ecuación (39), resulta:

$$\theta_2(t) = K_N \theta_1(t) \quad (41)$$

Sustituyendo (41) en la (38):

$$T_2 = J_2 K_N \frac{d^2\theta_1(t)}{dt^2} + b_2 K_N \frac{d\theta_1(t)}{dt} \quad (42)$$

Sabiendo que:

$$T_1 = \left(\frac{N_1}{N_2} \right) T_2 = K_N T_2 \quad (43)$$

La (37) puede escribirse como:

$$T_e(t) = J_1 \frac{d^2\theta_1(t)}{dt^2} + b_1 \frac{d\theta_1(t)}{dt} + J_2 K_N^2 \frac{d^2\theta_1(t)}{dt^2} + b_2 K_N^2 \frac{d\theta_1(t)}{dt} \quad (44)$$

Definiendo el momento de inercia y coeficiente de fricción equivalentes como:

$$\begin{cases} J_{eq} = J_1 + K_N^2 J_2 = J_1 + \left(\frac{N_2}{N_1}\right)^2 J_2 \\ b_{eq} = b_1 + K_N^2 b_2 = b_1 + \left(\frac{N_1}{N_2}\right)^2 b_2 \end{cases} \quad (45)$$

La ecuación (44), resulta:

$$T_e(t) = J_{eq} \frac{d^2\theta_1(t)}{dt^2} + b_{eq} \frac{d\theta_1(t)}{dt} \quad (46)$$

Como se observa, se transfieren el momento de inercia de la carga y el torque por fricción en el eje de la carga al eje del motor. De esta forma podemos ignorar el tren de engranajes y el eje de la carga.

Considerando la función de transferencia de posición en la cual se desprecia la inductancia de armadura ($L_a \cong 0$), esta nos queda:

$$G_{1p}(s) = \frac{\Theta_1(s)}{U(s)} = \frac{K_m^*}{s(s\tau_m^* + 1)} \quad (47)$$

Dónde:

$$K_m^* = \frac{K_t}{b_{eq}R_a + K_tK_b} \quad \text{y} \quad \tau_m^* = \frac{J_{eq}R_a}{b_{eq}R_a + K_tK_b} \quad (48)$$

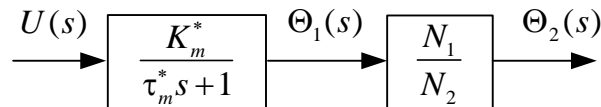


Figura 6: Diagramas de bloques: Tensión de armadura - posición de la carga.

Sistemas térmicos

Son sistemas que involucran transferencia de calor de una sustancia a otra.

Los sistemas térmicos pueden ser tratados utilizando símiles eléctricos tales como la resistencia y capacitor, aunque la resistencia y capacitancia térmica no pueden estrictamente considerarse o representarse en un modelo de parámetros concentrados, dado que estas se encuentran distribuidas a lo largo de la resistencia.

El calor fluye por los siguientes mecanismos:

1. Conducción.
2. Convección.
3. Radiación.

A continuación solo se tiene en cuenta los mecanismos 1 y 2, es decir la transferencia de calor por conducción y convección. En estos el flujo de calor se expresa mediante la siguiente ecuación:

$$q = K\Delta\theta \quad (49)$$

Dónde:

$$q : \text{Flujo de calor, } \left[\frac{\text{KCal}}{\text{seg}} \right]$$

$$K : \text{Coeficiente, } \left[\frac{\text{KCal}}{\text{seg}^\circ\text{C}} \right]$$

$$\Delta\theta : \text{Diferencia de temperatura, } [^\circ\text{C}]$$

La constante K es función de las dimensiones y características del material.

Resistencia y capacitancia térmicas.

Resistencia térmica:

$$R = \frac{d\theta}{dq}, \left[\frac{^\circ\text{C}}{\text{KCal/seg}} \right], \text{ Donde: } R = \frac{1}{K} \quad (50)$$

Para los mecanismos de conducción y convección, se tiene que los coeficientes son constantes, es decir $R \cong \text{constante}$.

Capacitancia térmica:

$$C = \frac{dQ}{d\theta}, \left[\frac{\text{KCal}}{^\circ\text{C}} \right] \quad (51)$$

Este indica la variación en el calor almacenado, es decir variación en la temperatura.

Otra forma de obtener la (51) es mediante la siguiente ecuación:

$$C = mc \quad (52)$$

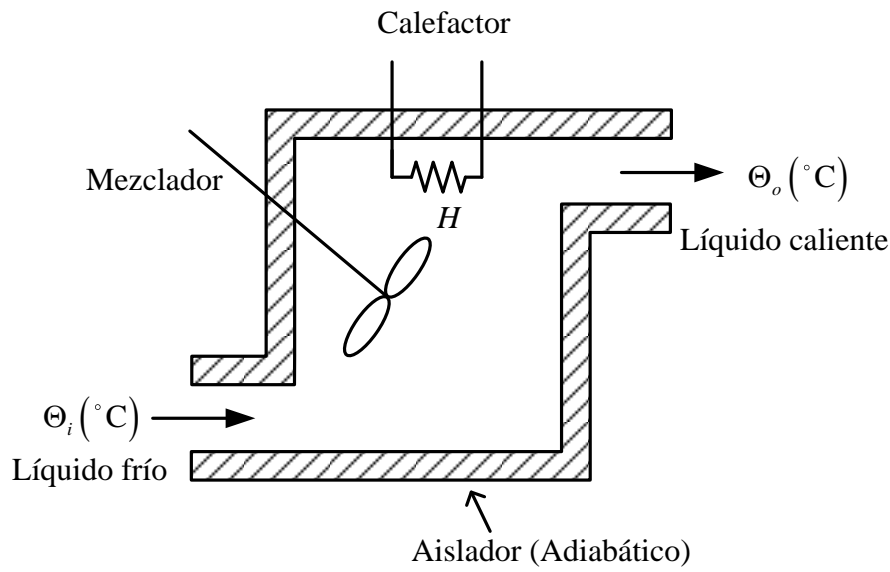


Figura 7: Esquema dinámico de un sistema térmico.

Dónde:

m : Masa de la sustancia, [Kg].

c : Calor específico de la sustancia, $\left[\frac{\text{KCal}}{\text{Kg}^\circ\text{C}} \right]$.

Θ_i : Temperatura de régimen permanente del líquido que entra, [°C].

Θ_o : Temperatura de régimen permanente del líquido que sale, [°C].

m = Masa del líquido, [Kg].

G = Velocidad del líquido en régimen permanente, $\left[\frac{\text{Kg}}{\text{seg}} \right]$.

C = Calor específico, $\left[\frac{\text{KCal}}{\text{Kg}^\circ\text{C}} \right]$.

R = Resistencia térmica, $\left[\frac{^\circ\text{Cseg}}{\text{KCal}} \right]$.

C = Capacitancia térmica, $\left[\frac{\text{KCal}}{^\circ\text{C}} \right]$.

H = Flujo de calor que entra al sistema.

Supongamos que “ h_i ” representa una pequeña cantidad de variación de calor. En esta situación el calor de entrada cambia de H a $H+h_i$. El calor del flujo de salida cambiará gradualmente de H a $H+h_o$ $\left[\frac{\text{KCal}}{\text{seg}} \right]$ y la temperatura de Θ_o a $\Theta_o+\theta$.

A continuación se definen los parámetros relacionados con el sistema.

Cambio en el flujo calórico:

$$h_o = GC\theta \left[\frac{\text{Kg}}{\text{seg}} \times \frac{\text{Kcal}}{\text{Kg}^\circ\text{C}} \times ^\circ\text{C} \right] = GC\theta \left[\frac{\text{Kcal}}{\text{seg}} \right] \quad (53)$$

Capacitancia Térmica:

$$C = mC \quad (54)$$

Resistencia Térmica:

$$R = \frac{\theta}{h_o} = \frac{1}{GC} \quad (55)$$

La ecuación que gobierna este proceso es la siguiente:

$$h_i - h_o = C \frac{d\theta}{dt} \Rightarrow h_i = h_o + C \frac{d\theta}{dt} \quad (56)$$

Sustituyendo la (53) en la (56):

$$h_i = GC\theta + C \frac{d\theta}{dt} \quad (57)$$

Dividiendo ambos miembros por GC :

$$\frac{h_i}{GC} = \theta + \frac{C}{GC} \frac{d\theta}{dt} \quad (58)$$

Sustituyendo la (55) en la (58):

$$Rh_i = \theta + RC \frac{d\theta}{dt} \quad (59)$$

Aplicando la transformada de Laplace:

$$RH_i(s) = \Theta(s) + RCs\Theta(s) = \Theta(s)(1 + RCs) \quad (60)$$

La función de transferencia de la entrada a la salida está dada por:

$$\frac{\Theta(s)}{H_i(s)} = \frac{R}{1 + RCs} = \frac{1/C}{\left(s + \frac{1}{RC} \right)} \quad (61)$$

Se observa que la constante de tiempo del sistema es $\tau = RC$, es decir:

$$\tau = RC = \left(\frac{1}{GC} \right) (mC) = \frac{m}{G}, \left[\frac{\text{Kg}}{\text{Kg/seg}} \right] = \frac{m}{G}, [\text{seg}] \quad (62)$$

La antitransformada de la función de transferencia, indicada en (61), resulta:

$$\theta(t) = L^{-1} \left[\frac{\Theta(s)}{H_i(s)} \right] = \frac{1}{C} e^{-t/RC} \quad (63)$$

El diagrama de bloques para este sistema de control, surge de analizar la (60):

$$RH_i(s) - \Theta(s) = RCs\Theta(s) \Rightarrow \Theta(s) = \frac{RH_i(s) - \Theta(s)}{RCs} \quad (64)$$

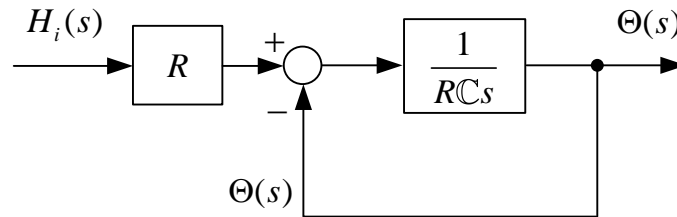


Figura 8: Diagrama de bloques del sistema de control analizado.

Análisis ante la variación de temperatura del líquido desde Θ_i a $\Theta_i + \theta_i$. En éste θ_i se consideran como perturbación del sistema.

Si Θ_i varía el control automático debe cambiar el calor entrante para que “ Θ_o ” se mantenga constante.

Suponiendo que:

Se tiene la siguiente variación de temperatura $\Theta_i \rightarrow \Theta_i + \theta_i$ y que el flujo de calor de entrada “ H ” y el flujo del líquido “ G ” se mantienen constantes. En esta situación el flujo de calor de salida variará de H a $H + h_o$ y la temperatura del líquido saliente variará desde Θ_o a $\Theta_o + \theta$. En función de esto, analizamos el sistema reescribiendo la (56):

$$h_i - h_o = C \frac{d\theta}{dt} \Rightarrow h_i = h_o + C \frac{d\theta}{dt} \quad (65)$$

h_i varía debido a “ θ_i ”:

$$h_i = GC\theta_i \quad (66)$$

Sustituyendo la (66) en la (65):

$$GC\theta_i - h_o = C \frac{d\theta}{dt} \quad (67)$$

Sustituyendo h_o , por $GC\theta$, la (67) será:

$$GC\theta_i - GC\theta = C \frac{d\theta}{dt} \quad (68)$$

Dividiendo ambos miembros por GC :

$$\theta_i - \theta = \frac{C}{GC} \frac{d\theta}{dt} \Rightarrow \theta_i = \frac{C}{GC} \frac{d\theta}{dt} + \theta \quad (69)$$

Sustituyendo la (55) en la (69):

$$\theta_i = RC \frac{d\theta}{dt} + \theta \quad (70)$$

Aplicando la transformada de Laplace para hallar la función de transferencia:

$$\Theta_i(s) = RCs\Theta(s) + \Theta(s) = (sRC + 1)\Theta(s) \quad (71)$$

La función de transferencia entre el disturbio y la salida es:

$$\frac{\Theta(s)}{\Theta_i(s)} = \frac{1}{sRC + 1} = \frac{1/RC}{\left(s + \frac{1}{RC}\right)} \quad (72)$$

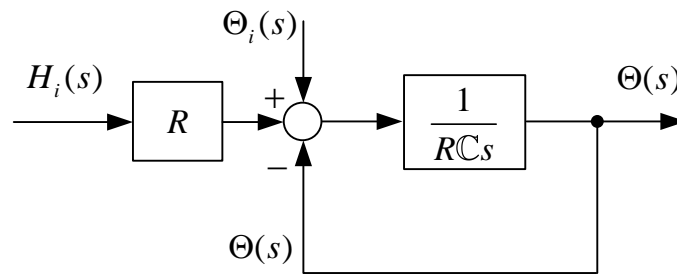


Figura 9: Diagrama de bloques del sistema de control térmico – Considerando el disturbio de entrada.

Si al cambio de la temperatura del líquido que entra se le suma el cambio en el flujo de calor de entrada h_i el sistema viene gobernado por:

$$RC \frac{d\theta}{dt} + \theta = \theta_i + Rh_i \quad (73)$$

Aplicando la transformada de Laplace y trabajando algebraicamente:

$$RCs\Theta(s) + \Theta(s) = \Theta_i(s) + RH_i(s) \quad (74)$$

$$\Theta(s)(sRC + 1) = \Theta_i(s) + RH_i(s) \quad (75)$$

De esta manera la función de transferencia, en la que se considera el cambio de temperatura y del flujo de calor del líquido entrante resulta:

$$\Theta(s) = \frac{\Theta_i(s)}{(sRC + 1)} + \frac{R}{(sRC + 1)} H_i(s) \quad (76)$$